Verteilung und Valenz der Kationen in Spinellsystemen mit Eisen und Vanadium, VI

Gitterkonstanten, Mößbauer-Spektren und elektronische Eigenschaften der Mischkristallreihe ZnFeVO₄-Fe₂VO₄

Distribution and Valence of the Cations in Spinel Systems with Iron and Vanadium, VI Lattice Constants, Mössbauer Spectra and Electronic Properties of the Solid Solution ZnFeVO₄–Fe₂VO₄

Erwin Riedel*, Angela Ostermann und Jörg Kähler

Institut für Anorganische und Analytische Chemie der Technischen Universität Berlin, Straße des 17. Juni 135, D-1000 Berlin 12

Z. Naturforsch. 44b, 869-874 (1989); eingegangen am 25. November 1988/22. Februar 1989

Zinc-Iron-Vanadium Spinels, Valence Distribution, Mössbauer Spectroscopy, Seebeck Effect, Activation Energy, Charge Hopping

The cation distribution and an energy level diagram of the spinel system $ZnFeVO_4 - Fe_2VO_4$ have been calculated from the lattice constants. The results are in agreement with the Mössbauer spectra. Mössbauer data, Seebeck coefficients and activation energies lead to a model of both tetrahedral and octahedral conduction based on charge hopping. For $Zn_{0.4}Fe_{1.6}VO_4$ there exists only one iron species. Fe_2VO_4 has at room temperature the cation distribution $Fe_{0.4}^{2.4}Fe_{0.6}^{3.4}(Fe_{0.6}^{3.4}Fe_{0.6}^{3.4}V^{3.4})O_4$.

1. Einleitung

Ziel der Untersuchung des Spinellsystems $Zn_{1-x}Fe_x(FeV)O_4$ war:

Berechnung der Verteilung der Fe²⁺- und Fe³⁺- Ionen im Spinellgitter aus Gitterkonstanten und Ionenabständen.

Berechnung eines Energieniveaudiagramms aus der Besetzung der Gitterplätze mit dem sechsten d-Elektron der Fe-Ionen.

Überprüfung der Verteilung und Valenz der Eisenionen mit der Mößbauer-Spektroskopie.

Interpretation der elektronischen Eigenschaften mit Hilfe des Energieniveaudiagramms und der Mößbauerdaten.

Über die verwendeten Meßmethoden wurde bereits berichtet [1, 2].

2. Präparation

Die Mischkristalle wurden durch Festkörperreaktion aus den Endgliedern ZnFeVO₄ und Fe₂VO₄ hergestellt; die Herstellung der Endglieder erfolgte aus Mischungen von ZnO, V₂O₃, Fe₂O₃ und Fe. Die Reaktionen wurden unter Ölpumpenvakuum in Platin-

3. Ergebnisse und Diskussion

a [pm*]

842,6

842,6

842,5 842,5

842,7

842,4 842,3 842,2 842,1

842.5

842.3

3.1 Gitterkonstanten und Ionenverteilung

Alle Glieder der Mischkristallreihe ZnFeVO₄-Fe₂VO₄ konnten in polykristalliner Form phasenrein erhalten werden. Die Gitterkonstanten sind nahezu konstant (Abb. 1, Tab. I). Mit den aus Vanadium- und Eisenspinellen ermittelten Ionenab-

reak-	0,0
4 her-	0,1
e aus	0,2
e Re-	0,3
	0,4
latin-	0,55
	0,6
	0,7
el.	0,8
	0.0

1,0

Tab. I. Gitterkonstante a im Spinellsystem $Zn_{1-x}Fe_x(FeV)O_4$.

Verlag der Zeitschrift für Naturforschung, D-7400 Tübingen 0932-0776/89/0800-0869/\$ 01.00/0

schiffchen bei 1000 °C durchgeführt. Fe₂VO₄ und ZnFeVO₄ waren nach einer Reaktionszeit von dreimal 24 Stunden, die Mischkristalle nach zweimal 24 Stunden phasenrein. Zwischen den Sinterungen wurden die zu Tabletten gepreßten Reaktionsmischungen pulverisiert und erneut gepreßt.

^{*} Sonderdruckanforderungen an Prof. Dr. E. Riedel

^{*} Der durchschnittliche Fehler beträgt ±0,1 pm.

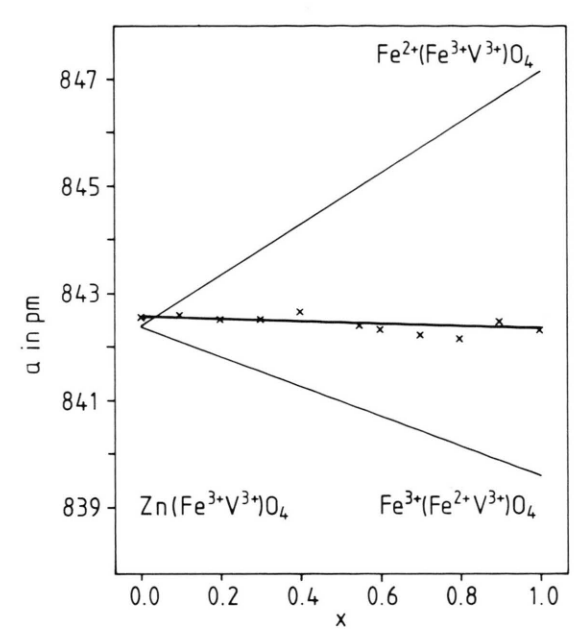


Abb. 1. Gitterkonstanten a im Spinellsystem $Zn_{1-x}Fe_x(FeV)O_4$.

ständen (Tab. II) können für Fe₂VO₄ die zu erwartenden Gitterkonstanten für die Normalverteilung Fe²⁺(Fe³⁺V³⁺)O₄ und für die inverse Verteilung Fe³⁺(Fe²⁺V³⁺)O₄ berechnet werden (Abb. 1). Der Ersatz von Zn²⁺-Ionen durch Fe²⁺-Ionen auf dem Tetraederplatz bewirkt eine Zunahme der Gitterkonstante. Der Übergang von Fe²⁺-Ionen vom Tetraederplatz auf den Oktaederplatz und der Übergang der gleichen Anzahl von Fe³⁺-Ionen vom Oktaederplatz auf den Tetraederplatz führen zu einer Abnahme der Gitterkonstante. Innerhalb der Mischkristallreihe kompensieren sich beide Effekte annähernd.

Die Größe des Fe²⁺-Fe³⁺-Austauschs wird mit dem Inversionsgrad λ beschrieben:

 $Zn_{1-x}Fe_{x-\lambda}^{2+}Fe_{\lambda}^{3+}(Fe_{\lambda}^{2+}Fe_{1-\lambda}^{3+}V^{3+})O_4$. Bei bekannten Gitterkonstanten und Ionenabständen kann λ berechnet werden. Die Abb. 2 zeigt, daß in der Misch-

$(Zn^{2+}-O)_{T}$	196,7
$(Fe^{2+}-O)_{T}$	200,0
$(Fe^{3+}-O)_{T}$	187
$(V^{3+}-O)_{O}$	202,4
$(Fe^{2+}-O)_{O}$	212
$(Fe^{3+}-O)_O$	203,5

Tab. II. Ionenabstände in Spinellen in pm [3].

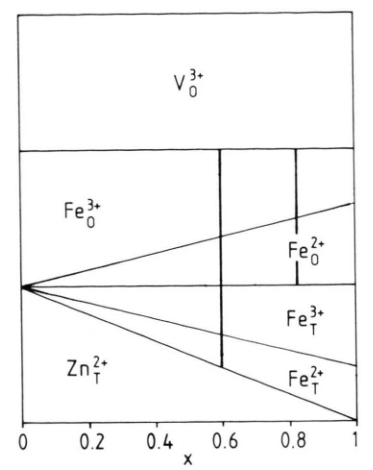


Abb. 2. Ionenverteilung im Spinellsystem $Zn_{1-x}Fe_{\lambda}^{2+} + Fe_{\lambda}^{3+} (Fe_{\lambda}^{2+} + Fe_{1-\lambda}^{3+} V^{3+})O_4$. In der Mischkristallreihe nimmt λ linear von $\lambda=0$ bei x=0 auf $\lambda\approx0$,6 bei x=1 zu.

kristallreihe ein Übergang vom normalen Spinell $\operatorname{Zn}(\operatorname{Fe}^{3+}\operatorname{V}^{3+})\operatorname{O}_4$ zum überwiegend inversen Spinell $\operatorname{Fe}_2\operatorname{VO}_4$ mit der annähernden Ionenverteilung $\operatorname{Fe}_{0,4}^{2+}\operatorname{Fe}_{0,6}^{3+}(\operatorname{Fe}_{0,6}^{2+}\operatorname{Fe}_{0,4}^{3+}\operatorname{V}^{3+})\operatorname{O}_4$ erfolgt. Bis $x\approx 0,6$ ist das Verhältnis $\operatorname{Fe}^{2+}/(\operatorname{Fe}^{2+}+\operatorname{Fe}^{3+})$ auf dem Oktaederplatz kleiner als auf dem Tetraederplatz, oberhalb $x\approx 0,6$ ist es größer. Es gibt in der Mischkristallreihe zwei ausgezeichnete Punkte. Bei $x\approx 0,8$ beträgt $\lambda=0,5$, und auf dem Oktaederplatz ist die Konzentration der Fe^{2+} -Ionen gleich der der Fe^{3+} -Ionen. Bei $x\approx 0,6$ sind die Fe^{2+} -Ionen statistisch auf beide Gitterplätze verteilt.

3.2 Mößbauer-Spektren

Die Raumtemperatur-Mößbauer-Spektren der Mischkristalle im Bereich bis x = 0,4 wurden durch drei Linien angepaßt (Abb. 3, Tab. III). Neben der von Fe²⁺-Ionen auf Tetraederplätzen stammenden Linie mit einer Isomerieverschiebung von 0,87 mm/s [4] und der zu Fe³⁺-Ionen gehörenden Linie mit einem shift von 0,39 mm/s [1] gibt es eine weitere Linie mit einer Isomerieverschiebung von 0,55 mm/s. Sie kann als "hopping-Linie" interpretiert werden, die durch schnellen Elektronenaustausch zwischen Fe²⁺-Ionen und einem Teil der Fe³⁺-Ionen auf dem Oktaederplatz zustande kommt [5]. Der Flächenanteil der hopping-Linie nimmt mit x zu. Die Mößbauer-Spektren bestätigen also die Besetzung beider Spinellgitterplätze mit Fe²⁺- und Fe³⁺-Ionen und die

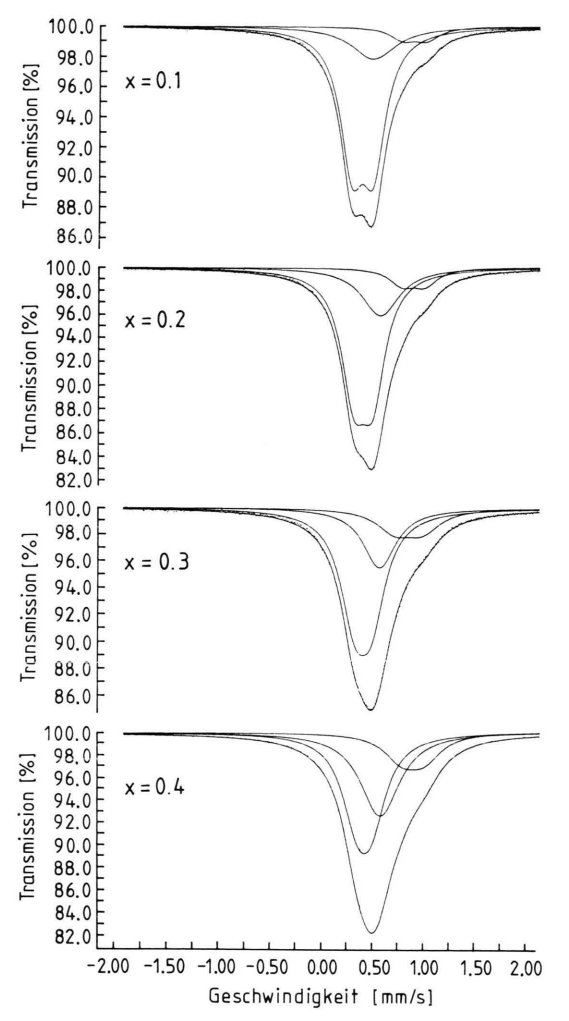


Abb. 3. Raumtemperatur-Mößbauer-Spektren der Spinellmischkristalle $Zn_{1-x}Fe_{1+x}VO_4$ mit $x\leqq0,4$.

aus den Gitterkonstanten berechnete Zunahme des Inversionsgrades λ .

Die Spektren unterhalb Raumtemperatur zeigen mit abnehmender Aufnahmetemperatur eine stetige Abnahme des Flächenanteils der hopping-Linie (Abb. 4, Tab. III). Für x = 0.2 z. B. ist sie bei 150 K nicht mehr nachweisbar.

Die Spektren im Bereich $0.5 \le x \le 1$ zeigen bei Raumtemperatur magnetische Aufspaltungen [5]. Für x = 0.6 und x = 0.8 wurden Mößbauer-Spektren oberhalb der Néel-Temperatur gemessen (Abb. 5, Tab. III). Die Spektren der Mischkristalle bei x = 0.6 bestehen aus nur einer Linie. Es gibt nur eine

Tab. III. Mößbauer-Parameter im Spinellsystem $Zn_{1-x}Fe_x(FeV)O_4$.

x	T	δ	Δ	Γ	FA
	in K	in mm/s	in mm/s	in mm/s	in %
0,1 29	295	0,887	0,23	0,29	8
		$0,38_{7}$	0,21	0,27	74
		$0,48_{9}$	_	0,51	18
0,2	295	0.87_{8}	0,22	0,30	10
		$0,39_3$	0,18	0,29	68
		$0,55_{9}$	_	0,44	22
0,3	295	0.85_{3}	0,25	0,39	14
		0.39_{2}	0,17	0,33	59
		0.55_{4}	_	0,42	27
0,4	295	0.87_{0}	0,21	0,41	18
		0.40_{2}	0,14	0,35	46
		0.55_{5}	_	0,46	36
0,2 27	275	0.90_{5}	0,23	0,34	11
		0.40_{2}	0,18	0,32	70
		0.58_{9}	_	0,38	19
250	250	0.93_{1}	0,27	0,38	13
		0,419	0,18	0,31	72
		0.60_{8}	_^	0,38	15
2	225	0,948	0,31	0,43	15
		0,432	0.19	0,32	74
		0.63_{5}	_	0,34	11
200	200	0.97_{8}	0,35	0,48	16
		0,447	0,19	0,32	77
		0,654	_	0,32	7
175 150	175	$1,01_{0}$	0,42	0,56	18
		0,453	0,20	0,33	77
		0,665	_	0,30	5
	150	0.99_{9}	0,56	0,72	22
	100	0,473	0,21	0,37	78
0,6	400	$0,49_{7}$	0,25	0,55	100
0,0	500	$0,43_{5}$	0,23	0,52	100
	600	0.36_{6}	0,24	0,57	100
0,8	450	$0,50_{6}$ $0,51_{7}$	0,21	0,48	95
0,0	130	0.15_{3}	_	0,35	5
	500	$0,18_{5}$	0,21	0,52	92
	500	$0,40_5$ $0,12_7$	-	0,40	8
	600	0,12,0	0,16	0,41	88
	000	$0,42_1$ $0,15_5$	-	0,46	12
		0,135		0,40	12

 δ Isomerieverschiebung, Δ Quadrupolaufspaltung, Γ Halbwertsbreite, FA relativer Flächenanteil.

Eisenspezies; das sechste d-Elektron ist statistisch auf beide Plätze des Spinellgitters verteilt und vollständig delokalisiert. Aus der Temperaturabhängigkeit erhält man für Raumtemperatur $\delta=0,56$ mm/s. Diese Isomerieverschiebung wird auch bei den hopping-Linien im Bereich bis x=0,4 gefunden. Am hopping-Prozeß sind Fe²⁺- und Fe³⁺-Ionen im gleichen Verhältnis beteiligt. Die Spektren der Mischkristalle bei x=0,8 bestehen aus zwei Linien. Die intensivere Linie ist nach ihrer Isomerieverschiebung (die berechnete Isomerieverschiebung für 300 K be-

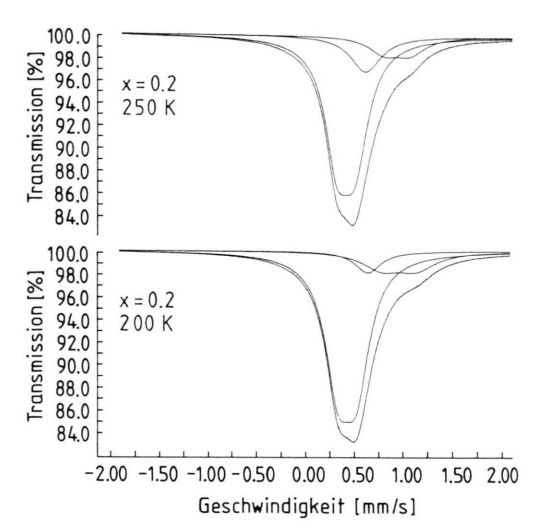


Abb. 4. Mößbauer-Spektren der Spinellmischkristalle $Zn_{0.8}Fe_{1.2}VO_4$ (x=0.2) bei 250 K und 200 K.

trägt 0,55 mm/s) eine hopping-Linie, die sich nicht einem bestimmten Gitterplatz zuordnen läßt. Der Flächenanteil der zweiten Linie nimmt mit zunehmender Temperatur zu (von 5% bei 450 K auf 12% bei 600 K). Nach ihrer Isomerieverschiebung stammt sie von Fe³⁺-Ionen, die nicht am hopping-Prozeß beteiligt sind.

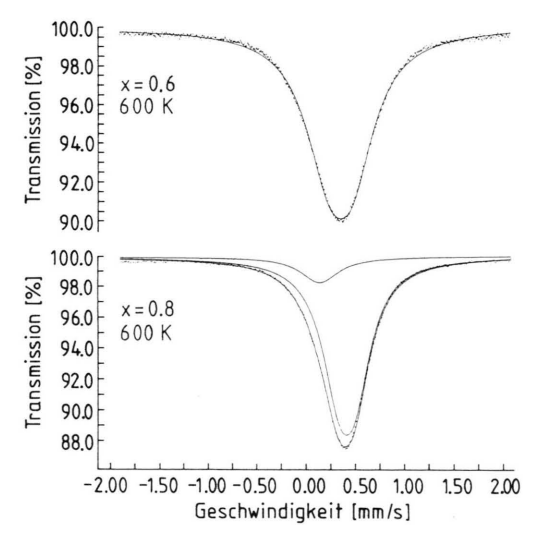


Abb. 5. Mößbauer-Spektren der Spinellmischkristalle $Zn_{0.4}Fe_{1.6}VO_4$ (x=0.6) und $Zn_{0.2}Fe_{1.8}VO_4$ (x=0.8) bei $600~\rm K$.

3.3 Thermokraft und elektrische Leitfähigkeit

sieben Proben der Mischkristallreihe ZnFeVO₄-Fe₂VO₄ wurden die Thermokraft θ und der spezifische Widerstand o zwischen 80 K und 300 K gemessen. Alle Proben sind n-Halbleiter. Der Verlauf der Thermokraft bei 300 K ist in der Abb. 6 dargestellt. Beispiele für die Temperaturabhängigkeit der Thermokraft sind in der Abb. 7 dargestellt. θ ändert sich mit der Temperatur nur wenig. Bei x =0.55 ist θ nahezu temperaturunabhängig. In der Abb. 7 sind auch die Temperaturabhängigkeiten des spezifischen Widerstands q dargestellt. Bei allen Proben ändert sich lg o/T nahezu linear mit 1/T. Die daraus berechneten Aktivierungsenergien q sind in der Mischkristallreihe konstant, sie betragen 0,12 eV (Abb. 6).

Die Thermokraft kann mit dem Modell lokalisierter Ladungsträger interpretiert werden [6, 7]. Es muß hopping auf beiden Gitterplätzen des Spinells berücksichtigt werden. Für die Thermokraft gilt dann die Beziehung

$$\theta \, eT = \frac{-\sigma_T(E_T - E_F + \alpha) + \sigma_O(E_F + \beta)}{\sigma}$$

Es bedeuten: $E_T - E_F$ Abstand des Fermi-Niveaus vom Tetraederniveau; E_F Abstand des Fermi-Niveaus zum Oktaederniveau; α , β Transportkonstanten; σ_T , σ_O Teilleitfähigkeiten auf dem Tetraederbzw. Oktaederniveau; σ Gesamtleitfähigkeit.

Die Verteilung der Fe²⁺-Ionen auf die beiden Gitterplätze des Spinells bedeutet Verteilung des sech-

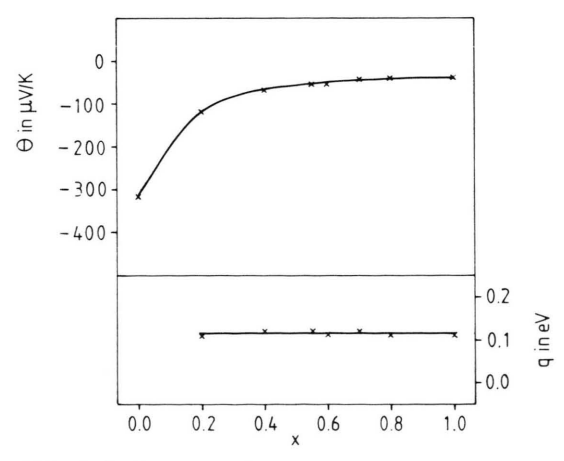


Abb. 6. Seebeck-Koeffizienten θ bei Raumtemperatur und Aktivierungsenergien q im Spinellsystem $Zn_{1-x}Fe_{1+x}VO_4$.

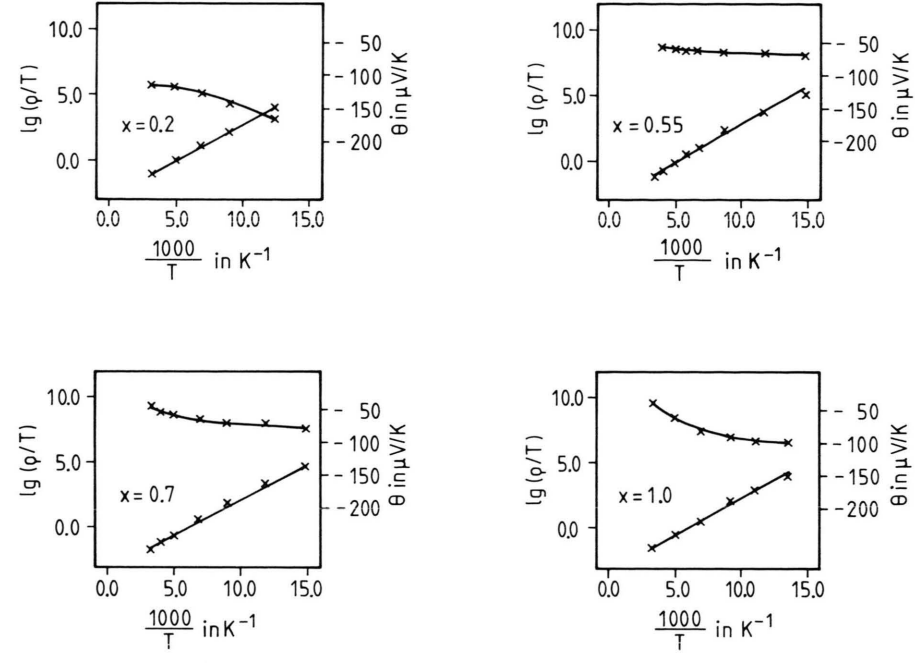


Abb. 7. Beispiele für die Temperaturabhängigkeit des Seebeck-Koeffizienten θ und des spezifischen Widerstands ϱ im Spinellsystem $Zn_{1-1}Fe_{1+1}VO_4$.

sten d-Elektrons der Fe-Ionen auf die energetisch unterschiedlichen Oktaeder- und Tetraederplätze. Diese Verteilung kann mit der Fermi-Statistik beschrieben werden. Relativ zum Energieniveau der Oktaederplätze erhält man für das Energieniveau der Tetraederplätze

$$E_T = kT \ln \frac{\lambda^2}{(x-\lambda)(1-\lambda)}$$

und für das Fermi-Niveau

$$E_F = kT \ln \frac{\lambda}{(1-\lambda)}$$

Mit den aus den Gitterkonstanten berechneten λ -Werten kann die relative Lage der Energieniveaus berechnet werden. Abb. 8 zeigt, daß die Abstände zwischen Oktaeder- und Tetraederniveau im kT-Bereich liegen und bei $x \approx 0.6$ und $x \approx 0.8$ zwei ausgezeichnete Punkte existieren. Bei $x \approx 0.6$ sind Oktaeder- und Tetraederniveau energiegleich, die Eisenionen sind nicht unterscheidbar. Das stimmt mit den Mößbauer-Spektren überein. Nur bei x = 0.6 zeigen die Spektren im paramagnetischen Bereich eine einzige Linie. Es gibt danach nur eine Eisenspezies, das sechste d-Elektron ist statistisch auf beiden Plätzen

des Spinellgitters verteilt und vollständig delokalisiert. Dem entspricht die Formel

 $Zn_{0.4}Fe_{0.6}^{+2.62}(Fe^{+2.62}V^{3+})O_4$. Bei Vernachlässigung der Transportkonstante [8] erhält man für das Fermi-Niveau $E_F=\theta\,eT$. Mit $\theta=-54\,\mu\text{V/K}$ folgt $E_F=$

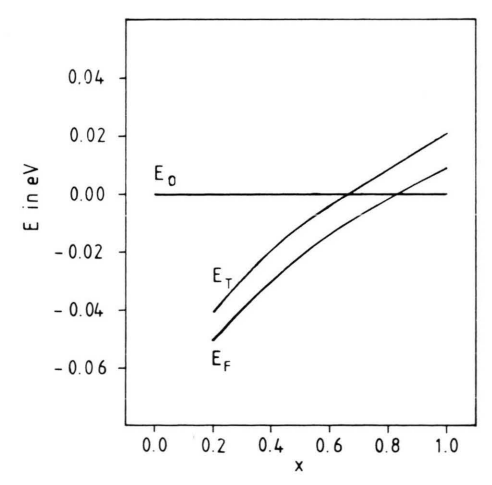


Abb. 8. Energieniveaudiagramm des Spinellsystems $Zn_{1-x}Fe_{1+x}VO_4$.

-0.016 eV in guter Übereinstimmung mit dem aus dem Inversionsgrad λ berechneten Wert $E_F = -0.015$ eV. Im Gegesantz zu anderen Bereichen des Mischkristalls ändert sich λ nicht mit der Temperatur und folglich auch nicht die Thermokraft. Dies wird durch das Experiment bestätigt (Abb. 7). Die gefundene Aktivierungsenergie von 0.12 eV ist also die Aktivierungsenergie der Beweglichkeit der Ladungsträger [9].

Im Bereich x < 0.6 bestimmt die Teilleitfähigkeit auf dem Oktaederplatz überwiegend θ .

Mit Ausnahme der Mischkristalle mit $x \approx 0.6$ hängt der Inversionsgrad von der Temperatur ab. Für x < 0.6 nimmt er mit abnehmender Temperatur zu, für x > 0.6 wird er kleiner. Daraus folgen in Übereinstimmung mit den experimentellen Ergebnissen mit abnehmender Temperatur negativere Thermokraftwerte.

^[1] E. Riedel, T. Dützmann und N. Pfeil, I. Teil, Z. Naturforsch. 35b, 1257 (1980).

^[2] G. Colsmann, Dissertation, TU Berlin (1970).

^[3] E. Riedel und N. Pfeil, II. Teil, Z. Naturforsch. 35b, 1261 (1980).

^[4] E. Riedel und H. Anik, IV. Teil, Z. Naturforsch. 38b, 1630 (1983).

^[5] J. Kähler, Dissertation, TU Berlin (1984).

^[6] G. H. Jonker, J. Phys. Chem. Solids 9, 165 (1959).

^[7] G. H. Jonker und S. van Houten, Halbleiterprobleme, S. 118, Band VI, Vieweg und Sohn, Braunschweig (1961).

^[8] J. B. Goodenough, Mat. Res. Bull. 5, 621 (1970).

^[9] A. J. Bosman und C. Crevecoeur, Phys. Rev. 144, Nr. 2, 763 (1966).